

การประชุมวิชาการเครือข่ายวิศวกรรมเครื่องกลแห่งประเทศไทยครั้งที่ 14
2-3 พฤศจิกายน 2543 โรงแรม โนโวเทล เชียงใหม่

การประเมินสภาพขึ้นรูปได้ของโลหะแผ่น

Evaluation of Formability of Sheet Metals

ชาญ ณัดงาน

ภาควิชาวิศวกรรมการผลิต คณะวิศวกรรมศาสตร์ สถาบันเทคโนโลยีพระจอมเกล้าฯ พระนครเหนือ

กรุงเทพฯ 10802

โทร 02-9132500, โทรสาร 02-5870029, E-Mail : chn@kmitnb.ac.th

บทคัดย่อ

การประเมินสภาพขึ้นรูปได้ของโลหะแผ่น ทำได้โดยการทดสอบการดึง, การทดสอบการดัดอย่างง่าย, การทดสอบรูปถ่ายของโลเซน, การทดสอบการดรอว์ความเร็วสูง, การทดสอบรูปถ่ายของฟูกอิ และการทดสอบการโก่งของไบซิดะ เมื่อนำโลหะแผ่นหนา 1 mm ที่ทำจากวัสดุ 6 ชนิดได้แก่ เหล็กกล้าโครงสร้าง SS 400, เหล็กกล้าคาร์บอนรีดเย็น SPCE, เหล็กกล้าไร้สนิม SUS 304 และ SUS 430, อะลูมิเนียม A1200P H12 และ A1100P H14 มาทดสอบด้วยวิธีการทดสอบดังกล่าวพบว่า วัสดุที่มีความสามารถในการดัด, การดรอว์ และการเชกเกอร์สูงสุดคือ เหล็กกล้าไร้สนิม SUS 304 รองลงมาคือ เหล็กกล้าคาร์บอนรีดเย็น SPCE ส่วนวัสดุที่มีความสามารถในการเชกเกอร์กับการดรอว์ร่วมกันสูงสุดคือเหล็กกล้าคาร์บอนรีดเย็น SPCE จากการหาสมมติฐานของวิธีการทดสอบแสดงให้เห็นว่า วิธีการทดสอบการดัดอย่างง่ายสามารถใช้ประเมินสภาพขึ้นรูปได้ของโลหะในการดรอว์และการเชกเกอร์ เนื่องจากมีค่าสัมประสิทธิ์ของสเปียร์แมน 0.943

Abstract

Evaluation of sheet formability can be accomplished by using tensile test, simple bending test, Olsen cupping test, high speed drawing test, Fukui conical cup test and Yoshida buckling test. After testing 1-mm thick sheet metal made from 6 different materials: structural steel SS 400, cold rolled carbon steel SPCE, stainless steel SUS 304 and SUS 430, aluminium A1200P H12 and A1100P H14, it is found that stainless steel SUS 304 has the highest ability in bending, drawing and stretching, while cold rolled carbon steel SPCE in stretch-drawing. For the correlation aspect among the testing methods, it is found

that simple bending test has correlation with drawability and stretchability tests by Spearman's rank correlation coefficient of 0.943.

1. บทนำ

งานขึ้นรูปโลหะแผ่นทั่วไปในวงการอุตสาหกรรมของประเทศไทยส่วนใหญ่ในปัจจุบัน มักใช้วิธีการลองผิดลองถูก และถ่ายทอดความชำนาญเฉพาะตัวเป็นส่วนใหญ่ การเลือกวัสดุชิ้นงานให้สามารถใช้ประโยชน์ได้อย่างเหมาะสมที่สุด จะต้องพิจารณาทั้งทางด้านการผลิตและการใช้งานวัสดุนั้นๆ ซึ่งจำเป็นต้องทราบพฤติกรรมของวัสดุเป็นอย่างดี วิธีการที่เหมาะสมคือเลือกวัสดุที่มีคุณสมบัติทางกลตามที่ต้องการ แล้วนำมาทดสอบสภาพขึ้นรูปได้ (formability) แต่เนื่องจากวิธีการทดสอบสภาพขึ้นรูปได้ที่มีอยู่มาก เป็นการทดสอบที่มีค่าใช้จ่ายสูง และยังต้องทดสอบในห้องปฏิบัติการ จึงสมควรศึกษาวิธีการทดสอบสภาพขึ้นรูปได้ของโลหะแผ่นและกำหนดวิธีการประเมินสภาพขึ้นรูปได้ของโลหะในเบื้องต้น ซึ่งสามารถประเมินสภาพขึ้นรูปได้ของโลหะแผ่นได้อย่างถูกต้องพอสมควร โดยที่มีความประหยัดและสามารถทำได้ในโรงงานอุตสาหกรรม

งานวิจัยนี้มีวัตถุประสงค์ในการศึกษา วิเคราะห์ และรวมรวมข้อมูลในการประเมินสภาพขึ้นรูปได้ของโลหะแผ่น พร้อมทั้งกำหนดวิธีการประเมินสภาพขึ้นรูปได้ของโลหะแผ่นอย่างง่าย โลหะแผ่นที่นำมาประเมินสภาพขึ้นรูปได้ประกอบด้วย เหล็กกล้าโครงสร้าง SS 400, เหล็กกล้าคาร์บอนรีดเย็น SPCE, เหล็กกล้าไร้สนิม SUS 304 และ SUS 430, อะลูมิเนียม A1200P H12 และ A1100P H14 หนา 1 mm กรรมวิธีการขึ้นรูปที่ทดสอบคือ การดัด, การดรอว์ (drawing), การเชกเกอร์ (stretching) และการเชกเกอร์กับการดรอว์ร่วมกัน โดยศึกษาวิธีการทดสอบที่ใช้ประเมินสภาพขึ้นรูปได้ของโลหะแผ่น ออกแบบและสร้างเครื่องมือทดสอบ ทดสอบโลหะแผ่น วิเคราะห์ผล

การทดสอบ และกำหนดวิธีการทดสอบอย่างง่าย

2. ทดสอบ

การขึ้นรูปโลหะแผ่นคือ กรรมวิธีในการเปลี่ยนรูปทรงของแผ่นโลหะแบบราบให้เป็นชิ้นงานที่มีรูปทรงตามที่ต้องการ โดยปราศจากการแตกหรือการบานงาечพะแห่ง กรรมวิธีการขึ้นรูปอาจเป็นกรรมวิธีอย่างง่ายเช่น การดัด หรืออาจมีขั้นตอนการทำางานที่ซับซ้อนมาก แต่การขึ้นรูปทั้งหมดมักประกอบไปด้วยวิธีการขึ้นรูปพื้นฐานซึ่งเกิดขึ้นพร้อมกันหรือต่อเนื่องกันคือ การดัด, การซแทร์ช, การตรอย และการอัดกระแทก ดังนั้นจึงไม่มีวิธีการทดสอบวิธีใดวิธีหนึ่งที่สามารถประเมินสภาพขึ้นรูปได้ของวัสดุในการขึ้นรูปทั้งหมดทุกวิธี

2.1 ปัญหาสภาพขึ้นรูปได้

ปัญหาหลักที่เกิดขึ้นในการขึ้นรูปโลหะแผ่นคือ การแตก, การโป่ง (buckling) และการย่น (wrinkling), การเสียรูป, โลหะย่อน (loose metal) และผิวเสีย เมื่อมีปัญหาเหล่านี้อย่างใดอย่างหนึ่งหรือหลายอย่างเกิดขึ้นบนชิ้นงานจะทำให้ชิ้นงานนั้นใช้ไม่ได้

คุณสมบัติของโลหะแผ่นเปลี่ยนแปลงไปตามชนิดของโลหะพื้นฐาน, ชาติเจือ, กรรมวิธี, กรรมวิธีทางความร้อน, ความหนา และระดับของการแปรรูปเย็น ดังนั้น การเลือกวัสดุเพื่อใช้งาน เฉพาะอย่างมักต้องปะนีปะนอนระหว่างคุณสมบัติที่ต้องการใช้งานกับคุณสมบัติในการขึ้นรูปของวัสดุ วัสดุที่มีสภาพขึ้นรูปได้เหมาะสมที่สุดสำหรับการใช้งานทั่วไปควรมีคุณสมบัติดังนี้

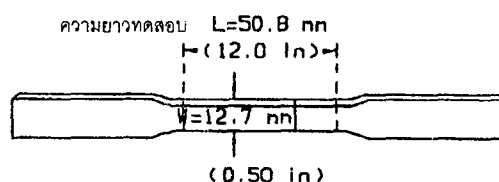
1. กระจาจความเครียดได้สม่ำเสมอ
2. ทำให้มีระดับความเครียดได้มากโดยปราศจากการอยคอดหรือรอยแตก
3. รับความเค้นกดในระนาบได้มากโดยปราศจากการย่น
4. รับความเค้นเฉือนในระนาบได้มากโดยปราศจากการแตก
5. รักษารูปทรงของชิ้นงานไว้ได้หลังเออกจากแม่พิมพ์
6. ผิวเรียบและทนต่อความเสียหายที่ผิว

2.2 การทดสอบสภาพขึ้นรูปได้

การทดสอบสภาพขึ้นรูปได้แบบพื้นฐานมีอยู่ 2 ชนิดคือ การทดสอบคุณสมบัติภายใน (intrinsic tests) ซึ่งเป็นการวัดคุณสมบัติพื้นฐานของวัสดุที่เกี่ยวพันกับสภาพขึ้นรูปได้ของวัสดุ และการทดสอบจากการจำลอง (simulative test) ซึ่งทำให้วัสดุเปลี่ยนรูปคล้ายกับการเปลี่ยนรูปจริงที่เกิดขึ้นในการขึ้นรูปเฉพาะอย่าง

2.2.1 การทดสอบคุณสมบัติภายใน

การทดสอบคุณสมบัติภายในเพื่อหาสภาพขึ้นรูปได้ของโลหะแผ่นที่ใช้กันกว้างขวางมากที่สุดคือ การทดสอบการดึงในแกนเดียว วิธีการทดสอบทำตามมาตรฐาน ASTM E8 ชิ้นทดสอบมีลักษณะดังรูปที่ 1 คุณสมบัติวัสดุที่ได้จากการทดสอบคือ โมดูลัสยืดหยุ่น E , ความด้านแรงคราก R_p , ความด้านแรงดึง R_m , ความยืดสม่ำเสมอ e_u , ความยืดรวม e_T , การลดgon พื้นที่เลขซึ่งกำลังการทำให้แข็งด้วยความเครียด n , อัตราส่วนความเครียดพลาสติก r

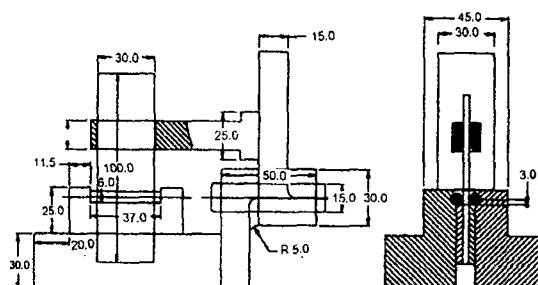


รูปที่ 1 ชิ้นทดสอบการดึง

2.2.2 การทดสอบจากการจำลอง

การทดสอบจากการจำลองการทำงานจริงของการขึ้นรูป โลหะวิธี มีประโยชน์และตรงจุดมากกว่าการทดสอบคุณสมบัติภายใน เนื่องจากวัสดุชิ้นงานเปลี่ยนรูปใกล้เคียงกับการผลิตจริงซึ่งแบ่งออกได้ตามพื้นฐานของการขึ้นรูปได้แก่ การดัด, การซแทร์ช, การตรอย และการซแทร์ชกับการตรอยร่วมกัน 2.2.2.1 การทดสอบการดัดอย่างง่าย

การทดสอบนี้ทำตามมาตรฐาน ASTM E920-92 เครื่องมือทดสอบมีลักษณะดังรูปที่ 2

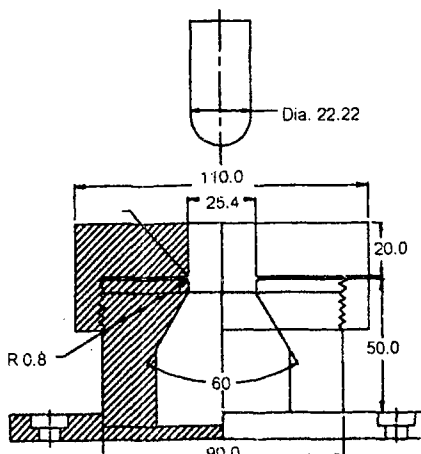


รูปที่ 2 เครื่องมือทดสอบการดัดอย่างง่าย

การทดสอบทำโดยการดัดชิ้นทดสอบเป็นมุม 90° แล้วดัดกลับ จนกระทั่งเกิดรอยแตกขึ้นที่ชิ้นทดสอบ จำนวนครั้งของ การดัดมุม 90° จนกระทั่งแตกเป็นครั้งคราวแสดงความสามารถในการดัดของวัสดุ

2.2.2.2 การทดสอบการซแทร์ช

การทดสอบนี้เรียกว่า การทดสอบรูปถัวของโอลเซนตาม มาตรฐาน ASTM E643 เครื่องมือทดสอบมีลักษณะดังรูปที่ 3

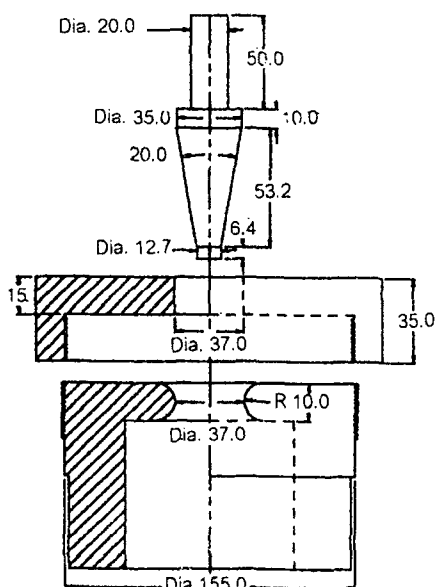


รูปที่ 3 เครื่องมือทดสอบรูปถ่ายของโลลเซน

การทดสอบนี้ใช้พื้นชั้นทดลองจัดขึ้นทดสอบลงในด้วยจันกระแทกชั้นทดสอบแตกความสูงของถ่ายที่จุดแตกเป็นเครื่องวัดสภาพเชิงตัวที่ได้ของวัสดุ

2.2.2.3 การทดสอบการตรวจ

การทดสอบนี้เรียกว่า การทดสอบการตรวจความเร็วสูง เครื่องมือทดสอบมีลักษณะดังรูปที่ 4



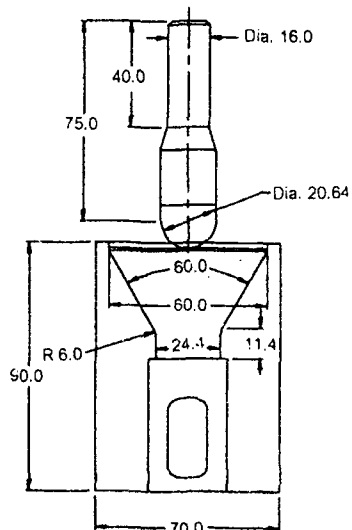
รูปที่ 4 เครื่องมือทดสอบการตรวจความเร็วสูง

การทดสอบทำโดยจับบีดชั้นทดสอบซึ่งมีรูเจาะที่ศูนย์กลางไว้บนด้วย จากนั้นใช้พื้นชั้นเรียบ 20° ดันผ่านรูเจาะ ทำให้รูเจาะขยายออกและขึ้นขอบโดยรอบ การทดสอบล้วนสุดลงเมื่อขอนอิสระของรูมีรอยแตก เปอร์เซนต์การขยายรู pct HE คำนวณได้จากการ

$$pct\ HE = \frac{D_f - D_o}{D_o} \times 100$$

2.2.2.4 การทดสอบการซ้บทรั้งกัน

การทดสอบนี้เรียกว่าการทดสอบรูปถ่ายของฟูกูอิ ตามมาตรฐาน JIS Z 2249 เครื่องมือทดสอบมีลักษณะดังรูปที่ 5

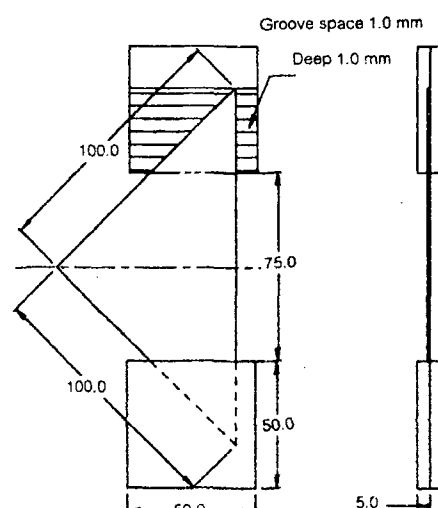


รูปที่ 5 เครื่องมือทดสอบรูปถ่ายของฟูกูอิ

การทดสอบทำโดยขึ้นรูปชั้นทดสอบกลมในด้าบรูปกรวย โดยใช้พื้นชั้นทดลองจันกระแทก รูปถ่ายแตก ค่ารูปถ่ายของฟูกูอิ (Fukui conical cup value, ccv) หาได้จากการหารเล้นผ่านศูนย์กลางด้านฐานของรูปถ่ายทรงกรวยด้วยเส้นผ่านศูนย์กลางเดิมของชั้นทดสอบ

2.2.2.5 การทดสอบการโก่งของโยชิดะ

การทดสอบนี้ทำตามผลงานวิจัยเรื่อง Yoshida Buckling Test เครื่องมือทดสอบมีลักษณะดังรูปที่ 6



รูปที่ 6 เครื่องมือทดสอบการโก่งของโยชิดะ

การทดสอบทำโดยใช้ชั้นทดสอบรูปสามเหลี่ยมหน้าจั่วที่มี

มุมเป็นมนูจาก ดึงในแนวยาวให้ยืดออก 5% แล้ววัดความสูงของรอยโกร่ง

3. ผลการทดสอบ

3.1 ผลการทดสอบการดึง

เมื่อทดสอบการดึงวัสดุทั้ง 6 ชนิด คำนวนหาค่าของ \bar{n} และ r แล้วนำมาหาค่าเฉลี่ยผลการทดสอบได้ดังตารางที่ 1

ตารางที่ 1 ค่า \bar{n} และ r ของวัสดุ

ค่า	SS 400	SPCE	SUS 304	SUS 430	A1200P	A1100P
\bar{n}	0.116	0.174	0.249	0.175	0.010	0.024
r	0.811	0.912	3.110	1.222	0.108	0.528

จากการทดสอบพบว่า เหล็กกล้า SS 400 มีค่า \bar{n} น้อยกว่าเหล็กกล้าชนิดอื่นซึ่งแสดงว่า หลังการขึ้นรูป เหล็กกล้า SS 400 เกิดการทำให้แข็งด้วยความเครียดน้อยกว่าเหล็กกล้าชนิดอื่น, แต่เกิดการทำให้แข็งด้วยความเครียดมากกว่าอะลูมิเนียมทั้ง 2 ชนิด

ส่วนค่า r ของเหล็กกล้า SS 400 มีค่าน้อยกว่าเหล็กกล้าชนิดอื่น แต่มากกว่าอะลูมิเนียมทั้ง 2 ชนิด ซึ่งแสดงว่าเหล็กกล้า SS 400 ลดความหนาได้ง่ายกว่าเหล็กกล้าชนิดอื่นและลดความหนาได้ยากกว่าอะลูมิเนียม

3.2 ผลการทดสอบการดัดอย่างง่าย

เมื่อทดสอบการดัดอย่างง่ายวัสดุทั้ง 6 ชนิด นับจำนวนครั้งของการตัดจนกระหั้นเกิดรอยแตก แล้วนำมาหาค่าเฉลี่ยผลการทดสอบได้ดังตารางที่ 2

ตารางที่ 2 ผลการทดสอบการดัดอย่างง่าย

จำนวนครั้ง	SS 400	SPCE	SUS 304	SUS 430	A1200P	A1100P
จำนวนครั้ง	14.17	15.00	18.00	13.17	10.67	13.33

หมายเหตุ: วัสดุทดสอบกว้าง 30 mm ยาว 100 mm และหนา 1 mm.

จากการทดสอบพบว่า คุณสมบัติต้านการดัดของเหล็กกล้า SS 400 ต่ำกว่าเหล็กกล้า SPCE และเหล็กกล้าไร้สนิม SUS 304 สูงกว่าเหล็กกล้าไร้สนิม SUS 430 และอะลูมิเนียมทั้ง 2 ชนิด เหล็กกล้าไร้สนิม SUS 304 ดัดมากที่สุดเมื่อเปรียบเทียบกับวัสดุชนิดอื่น

3.3 ผลการทดสอบรูปถ่ายของโลเลเซน

เมื่อทดสอบรูปถ่ายของโลเลเซนกับวัสดุทั้ง 6 ชนิด วัดความสูงของรูปถ่ายจากการทดสอบจนกระหั้นเกิดรอยแตก แล้วนำมาหาค่าเฉลี่ยผลการทดสอบได้ดังตารางที่ 3

ตารางที่ 3 ผลการทดสอบรูปถ่ายของโลเลเซน

	SS 400	SPCE	SUS 304	SUS 430	A1200P	A1100P
ความสูงถ่าย	11.90	13.18	14.77	11.22	8.52	9.96

หมายเหตุ: วัสดุทดสอบหนา 1 mm.

จากการทดสอบพบว่า คุณสมบัติต้านการซีเร็ตช์ของเหล็กกล้า SS 400 น้อยกว่าเหล็กกล้า SPCE และเหล็กกล้าไร้สนิม SUS 304 ซีเร็ตช์ได้มากกว่าเหล็กกล้าไร้สนิม SUS 430 และอะลูมิเนียมทั้ง 2 ชนิด เหล็กกล้า SUS 340 ซีเร็ตช์ได้มากที่สุดเมื่อเปรียบเทียบกับวัสดุชนิดอื่น

3.4 ผลการทดสอบการตรวจความเร็วสูง

เมื่อทดสอบการตรวจความเร็วสูงกับวัสดุทั้ง 6 ชนิด วัดขนาดครูเมื่อมรอยแตก แล้วนำมาหาค่าเฉลี่ยผลการทดสอบได้ดังตารางที่ 4

ตารางที่ 4 ผลการทดสอบการตรวจความเร็วสูง

	SS 400	SPCE	SUS 304	SUS 430	A1200P	A1100P
ค่า $pct\ HE$	72.14	96.06	101.86	70.97	65.12	74.80

หมายเหตุ: วัสดุทดสอบหนา 1 mm.

จากการทดสอบพบว่า คุณสมบัติต้านการตรวจความเร็วของเหล็กกล้า SS 400 น้อยกว่าเหล็กกล้า SPCE เหล็กกล้าไร้สนิม SUS 304 และอะลูมิเนียม A1100P H14 ตรวจได้ดีกว่าเหล็กกล้าไร้สนิม SUS 430 และอะลูมิเนียม A1200P H12 เหล็กกล้าไร้สนิม SUS 340 ตรวจได้มากที่สุดเมื่อเปรียบเทียบกับวัสดุชนิดอื่น

3.5 ผลการทดสอบรูปถ่ายของฟูกอิ

เมื่อทดสอบการซีเร็ตช์กับการตรวจร่วมกันกับวัสดุทั้ง 6 ชนิด วัดขนาดเส้นผ่าศูนย์กลางสูงสุดและต่ำสุดเมื่อมีรอยแตกแล้วนำมาหาค่าเฉลี่ยของ ccv จากผลการทดสอบได้ดังตารางที่ 5

ตารางที่ 5 ผลการทดสอบรูปถ่ายของฟูกอิ

	SS 400	SPCE	SUS 304	SUS 430	A1200P	A1100P
ค่า CCV	42.29	46.11	43.22	44.00	41.28	43.87

หมายเหตุ: วัสดุทดสอบหนา 1 mm.

จากการทดสอบพบว่า คุณสมบัติต้านการซีเร็ตช์กับการตรวจร่วมกันของเหล็กกล้า SS 400 น้อยกว่าเหล็กกล้า SPCE เหล็กกล้าไร้สนิม SUS 304 และ SUS 430 และอะลูมิเนียม A1100P H14 ซีเร็ตช์กับการตรวจร่วมกันได้ดีกว่าเหล็กกล้าไร้สนิม SUS 430 และอะลูมิเนียม A1200P H12

เหล็กกล้า SPCE ชั้นเริ่ด กับ ตัวอย่างที่ร่วมกันคือมากที่สุดเมื่อเปรียบเทียบกับวัสดุชนิดอื่น

3.6 ผลการทดสอบการโก่งของโยชิตะ

เมื่อทดสอบการโก่งของโยชิตะ กับวัสดุทั้ง 6 ชนิด วัดความสูงรอยโก่งของอะลูมิเนียม เมื่อมีอัตราภัยด 2% ส่วนวัสดุอื่นวัดเมื่อมีอัตราภัยด 5% แล้วนำมาหาค่าเฉลี่ยผลการทดสอบได้ดังตารางที่ 6

ตารางที่ 6 ผลการทดสอบการโก่งของโยชิตะ

	SS 400	SPCE	SUS 304	SUS 430	A1200P	A1100P
ความสูง	1.36	1.62	1.38	2.37	2.26	1.45
หมายเหตุ: วัสดุทดสอบหนา 1 mm. อะลูมิเนียมบีด 2% วัสดุอื่นบีด 5%						

จากการทดสอบพบว่า คุณสมบัติด้านด้านทานการย่น และการโก่งของเหล็กกล้า SS 400 ดีกว่าเหล็กกล้า SPCE เหล็กกล้าไร้สนิม SUS 304 และ SUS 430 และอะลูมิเนียมทั้ง 2 ชนิด เหล็กกล้า SS 400 ด้านทานการย่นและการโก่งมากที่สุดเมื่อเปรียบเทียบกับวัสดุชนิดอื่น

3.7 ผลการหาค่าสหสัมพันธ์ของการทดสอบ

การหาค่าสหสัมพันธ์ของการทดสอบ ทำโดยการจับคู่ผลการทดสอบแต่ละวิธี คำนวณโดยใช้โปรแกรม SPSS เพื่อหาค่าสัมประสิทธิ์สหสัมพันธ์ของเพียร์สันและสเปียร์แมน และการทดสอบแบบ 2 ทาง ซึ่งได้ค่าสัมประสิทธิ์ดังตารางที่ 7.

ตารางที่ 7 ค่าสัมประสิทธิ์สหสัมพันธ์จากการจับคู่การทดสอบ

คู่การทดสอบ	Spearman	Spearman
	เพียร์สัน	สเปียร์แมน
ค่า ก กับการทดสอบการตัดอย่างง่าย	0.899	0.657
ค่า ก กับการทดสอบรูปถ่ายของโอลเซ่น	0.849	0.829
ค่า ก กับการทดสอบการต่อความเร็วสูง	0.743	0.600
ค่า / กับการทดสอบการตัดอย่างง่าย	0.843	0.754
ค่า / กับการทดสอบรูปถ่ายของโอลเซ่น	0.927	0.899
ค่า / กับการทดสอบการต่อความเร็วสูง	0.723	0.696
การทดสอบการตัดอย่างง่ายกับการทดสอบรูปถ่ายของโอลเซ่น	0.962	0.943
การทดสอบการตัดอย่างง่ายกับการทดสอบการต่อความเร็วสูง	0.893	0.943

4. สรุป

ผลจากการศึกษา วิเคราะห์ ทดลอง และรวมรวมข้อมูลใน การประเมินสภาพขั้นรูปได้ของโลหะแผ่น 6 ชนิด ได้แก่ เหล็กกล้าโครงสร้าง SS 400, เหล็กกล้าคาร์บอนเริดเย็น SPCE,

เหล็กกล้าไร้สนิม SUS 304 และ SUS 430, อะลูมิเนียม A1200P H12 และ A1100P H14 แต่ละชนิดหนา 1 mm สามารถสรุปผลได้ดังนี้.

1. เหล็กกล้ามีคุณสมบัติการทำให้แข็งด้านความเรียบดี กว่าอะลูมิเนียม ซึ่งงานที่ได้จากการขึ้นรูปเจึงมีความแข็งแรงเพิ่มขึ้นมากกว่าอะลูมิเนียม แต่ขึ้นรูปยากกว่าอะลูมิเนียม. นอกจากนั้นเหล็กยังมีคุณสมบัติเป็นแอนไฮดรอกอิกว่าอะลูมิเนียมเจิงยิ่งด้วยได้สัมผัสแรกก็รู้ว่าอะลูมิเนียม.

2. เหล็กกล้าไร้สนิม SUS 304 มีความสามารถในการดัดสูงสุด.

3. เหล็กกล้าโครงสร้าง SS 400, เหล็กกล้าไร้สนิม SUS 430 และอะลูมิเนียม A1100P H14 มีความสามารถในการดัดใกล้เคียงกับ เหล็กกล้ารีดเย็น SPCE ดังนั้นเจึงนำไปใช้รูปด้วยการดัดได้ดีพอ กับเหล็กกล้ารีดเย็น. ส่วนอะลูมิเนียม A1200P H12 มีคุณสมบัติด้านการดัดต่ำสุด.

4. เหล็กกล้าไร้สนิม SUS 304 มีความสามารถในการชกรีดสูงสุด, รองลงมาคือเหล็กกล้ารีดเย็น SPCE. เหล็กกล้าโครงสร้าง SS 400 และ เหล็กกล้าไร้สนิม SUS 430 มีความสามารถในการชกรีดสูงสุด, รองลงมาคือเหล็กกล้ารีดเย็น SPCE. เหล็กกล้าโครงสร้าง SS 400 และ เหล็กกล้าไร้สนิม SUS 430 มีความสามารถในการต่อความเร็วสูง A1100P H14. ส่วนอะลูมิเนียม A1200P H12 มีคุณสมบัติด้านการชกรีดต่ำสุด.

5. เหล็กกล้าไร้สนิม SUS 304 มีความสามารถในการต่อความเร็วสูงสุด, รองลงมาคือเหล็กกล้ารีดเย็น SPCE และ อะลูมิเนียม A1100P H14. เหล็กกล้าโครงสร้าง SS 400 และ เหล็กกล้าไร้สนิม SUS 430 มีความสามารถในการต่อความเร็วสูง A1200P H12 มีคุณสมบัติด้านการต่อความเร็วต่ำสุด.

6. เหล็กกล้ารีดเย็น SPCE มีความสามารถในการชกรีด กับการต่อความเร็วสูงสุด, รองลงมาคือเหล็กกล้าไร้สนิม SUS 430, อะลูมิเนียม A1100P H14, เหล็กกล้าไร้สนิม SUS 304 และ เหล็กกล้าโครงสร้าง SS 400 ตามลำดับ. ส่วนอะลูมิเนียม A1200P H12 มีคุณสมบัติด้านการชกรีด กับการต่อความเร็วต่ำสุด.

7. เหล็กกล้าไร้สนิม SUS 430 มีแนวโน้มในการโก่งเมื่อรับแรงดึงสูงสุด รองลงมาคือเหล็กกล้ารีดเย็น SPCE, เหล็กกล้าไร้สนิม SUS 304 และเหล็กกล้าโครงสร้าง SS 400 ตามลำดับ.

8. การทดสอบการตัดอย่างง่ายมีสหสัมพันธ์กับการทดสอบรูปถ่ายของโอลเซ่น และการทดสอบการต่อความเร็วสูง โดยมีค่าสัมประสิทธิ์สหสัมพันธ์ของเพียร์สัน 0.962 และ 0.893 และมีค่าสัมประสิทธิ์สหสัมพันธ์ของสเปียร์แมน 0.943 เท่ากัน. การทดสอบการตัดอย่างง่ายเจึงแสดงผลถึงความสัมพันธ์กับการทดสอบรูปถ่ายของโอลเซ่นและการทดสอบ

การตรวจสอบความเร็วสูง. ดังนั้นวิธีการทดสอบการดัดด้วยง่ายจึงสามารถใช้ประเมินค่าสภาพขึ้นรูปได้ของโลหะในการซแทร็ดและการครอว์.

เอกสารอ้างอิง

- [1] ชาญ ณัดงาน, “การประเมินค่าสภาพขึ้นรูปได้ของโลหะแผ่น”, รายงานวิจัย, สถาบันเทคโนโลยีพระจอมเกล้าพระนครเหนือ, 2528
- [2] ณัฐพล ศิริสว่าง, “การศึกษาเพื่อเปรียบเทียบวิธีการตรวจสอบความสามารถในการขึ้นรูปโลหะแผ่น”, วิทยานิพนธ์, สถาบันเทคโนโลยีพระจอมเกล้าพระนครเหนือ, 2541
- [3] ASTM E290, Standard Method of Semi Guide Bend Test for Ductility of Metallic Metal, “1993 Annual Book of ASTM Standards Vol. 3.01 Mechanical Testing”, American Society for Testing of Material, 1993
- [4] ASTM E517-92a, Standard Test Method for Plastic Strain Ratio r for Sheet Metal, “1993 Annual Book of ASTM Standards, Vol. 3.01 Mechanical Testing”, American Society for Testing of Material, 1993
- [5] ASTM E643, Standard Test Method for Ball Punch Deformation of Sheet Material, “1993 Annual Book of ASTM Standards, Vol. 3.01 Mechanical Testing”, American Society for Testing of Material, 1993
- [6] ASTM E646-91, Standard Test Method for Tensile Strain-Hardening Exponents (n -Values) of Metallic Sheet Materials, “1993 Annual Book of ASTM Standards, Vol. 3.01 Mechanical Testing”, American Society for Testing of Material, 1993
- [7] JIS Z 2249, Method of Conical Cup Test, “JIS Handbook 1984 Ferrous Materials and Metallurgy”, Japanese Industrial Standard, 1984
- [8] “ASM Handbook, Volume 8, Mechanical Testing,” American Society for Metals, 1995
- [9] H.E. Boyer, “Atlas of Stress–Strain Curves”, ASM International, Ohio, 1990
- [10] G. Ferron and M. Touati, “Determination of the Forming Limits in Planar–Isotropic and Temperature Sensitive Sheet Metals,” International Journal of Material Science, Vol. 27, no. 3, 1985, pp. 121–133
- [11] S. Fukui, K. Yoshida and S. Kobayashi, “Sheet Metal Forming Research in Japan,” Transaction of the ASME, Journal of Engineering for Industry, February 1966, pp. 101–110
- [12] A. Ghosh A, “How to Rate Stretch Formability of Sheet Steel,” Metal Progress, May 1975, pp. 52–54
- [13] J. Harvanek, “Wrinkling Limit of Tapered Pressings,” Journal Australian Institute of Metals, Vol. 20, 1975, pp. 114–119
- [14] B. Kaftanoglu, “A Method for Estimating the Limiting Drawing Ratio in Deep-drawing,” International Journal for Production Research, Vol. 12, no. 1, 1974, pp. 89–98
- [15] A. Kastelyn, “Just Another Look At Forming Limits,” Sheet Metal Industries, January 1966, pp. 44–47
- [16] A. Klein and E. Hitchler, “The Hole-Enlargement Test Determines Sheet Formability on The Line,” Metal Engineering Quarterly, August 1973, pp. 25–27
- [17] K. Poehlandt, “Materials Testing for the Metal Forming Industry,” Springer-Verlag, Berlin, 1989
- [18] K. Siegert, “Grenzen des Ziehens von Karosserie-teilen,” Werkstatt und Betrieb 118, 1985, pp. 709–713
- [19] K. Yoshida, “Yoshida Buckling Test,” International Symposium on New Aspects Sheet Metal Forming, Iron and Steel Institute of Japan, Tokyo, 1981